

自动控制原理

Automatic Control Principle

3. 时域分析

(Part 3)

机械工程学院
机器人工程系 王泽堂

2023/10/19

课程回顾

二阶系统性能指标分析:

$$\zeta \uparrow \Rightarrow \begin{cases} t_s = \frac{3.5}{\zeta \omega_n} \downarrow \\ \phi \downarrow \Rightarrow \sigma \% \downarrow \end{cases}$$

$$\sqrt{1-\zeta^2} \omega_n \uparrow \Rightarrow \begin{cases} t_s = \frac{3.5}{\zeta \omega_n} \rightarrow \\ \phi \uparrow \Rightarrow \sigma \% \uparrow \end{cases}$$

$$\phi \uparrow \Rightarrow \begin{cases} \zeta \omega_n \downarrow \Rightarrow t_s = \frac{3.5}{\zeta \omega_n} \uparrow \\ \phi \uparrow \Rightarrow \sigma \% \uparrow \end{cases}$$

$$\omega_n \uparrow \Rightarrow \begin{cases} \zeta \omega_n \uparrow \Rightarrow t_s = \frac{3.5}{\zeta \omega_n} \downarrow \\ \zeta \rightarrow \phi \rightarrow \sigma \% \rightarrow \end{cases}$$

稳定性判据:

总结

结论: 系统极点实部在左半平面内, 系统稳定。

稳定性代数判据:

劳斯-赫尔维茨判据

2023/10/19

课程内容

Main Contents

- 1 时间响应性能指标
- 2 一阶系统时域分析
- 3 二阶系统时域分析
- 4 稳定性分析
- 5 稳态误差计算

2023/10/19

稳态误差计算

一、系统的误差 $e(t)$ 与 $\varepsilon(t)$

输入端定义误差:

$$E(s) = R(s) - H(s)C(s)$$

输出端定义误差:

2023/10/19

稳态误差计算

一、系统的误差 $e(t)$ 与 $\varepsilon(t)$

输入端定义误差:

$$E(s) = R(s) - H(s)C(s)$$

输出端定义误差:

$$\varepsilon(s) = \frac{1}{H(s)} R(s) - C(s)$$

↓

$$E(s) = H(s) \varepsilon(s)$$

2023/10/19

闭环反馈系统方框图

数学模型

System Model

1) 前向通道传递函数: 输出信号与偏差信号之比

$$G(s) = \frac{C(s)}{E(s)} = G_1(s)G_2(s)$$

2) 反馈通道传递函数: $H(s) = \frac{B(s)}{C(s)}$

$H(s)=1$ 时称为单位反馈

3) 对输入的闭环传递函数 ($N(s)=0$)

$$G_k(s) = \frac{B(s)}{R(s)} = G_1(s)G_2(s)H(s)$$

4) 对输入的闭环传递函数 ($N(s)=0$)

$$G_b(s) = \frac{C(s)}{R(s)} = \frac{G_1(s)G_2(s)}{1 + G_1(s)G_2(s)H(s)}$$

5) 对扰动的闭环传递函数 ($R(s)=0$)

$$G_s(s) = \frac{C(s)}{N(s)} = \frac{G_2(s)}{1 + G_1(s)G_2(s)H(s)}$$

6) 对输入的误差传递函数

$$\Phi_e(s) = \frac{E(s)}{R(s)} = \frac{1}{1 + G_1(s)G_2(s)H(s)}$$

2023/10/19

稳态误差计算

一、系统的误差 $e(t)$ 与 $\varepsilon(t)$

闭环反馈系统的误差传递函数:

$$\Phi_e(s) = \frac{E(s)}{R(s)} = \frac{1}{1 + G(s)H(s)}$$

静态/稳态误差:

$$e_{ss}(\infty) = \lim_{t \rightarrow \infty} e_{ss}(t) = \lim_{s \rightarrow 0} sE(s) = \lim_{s \rightarrow 0} sR(s)\Phi_e(s) = \lim_{s \rightarrow 0} \frac{sR(s)}{1 + G(s)H(s)}$$

$$\varepsilon_{ss}(\infty) = \lim_{t \rightarrow \infty} \varepsilon_{ss}(t) = \lim_{s \rightarrow 0} s\varepsilon(s) = \lim_{s \rightarrow 0} s \frac{R(s)}{H(s)} \Phi_e(s) = \lim_{s \rightarrow 0} \frac{sR(s)}{H(1 + G(s)H(s))}$$

目标: 稳态误差 $\rightarrow 0$

2023/10/19

稳态误差计算

一、系统的误差 $e(t)$ 与 $\varepsilon(t)$

【稳态误差求解方法】

1. 判定系统稳定性 ★★★★★ **Routh判据**
2. 求解误差传递函数 $\Phi_e(s) = \frac{E(s)}{R(s)}$
3. 利用终值定理求解 (通用方法) $\lim_{t \rightarrow \infty} e_{ss}(t) = \lim_{s \rightarrow 0} sE(s)$

2023/10/19

稳态误差计算

一、系统的误差 $e(t)$ 与 $\varepsilon(t)$

例1: 已知系统前向通道传函为 $G(s) = \frac{K}{s^2(s+a)}$, 反馈通道传递函数为 $H(s) = Ts+1$

已知输入 $r(t) = 2t + 4t^2$, 求系统稳态误差。

判定系统稳定性

$$D(s) = s^3 + as^2 + KTs + K = 0$$

利用终值定理求解

$$e_{ss}(\infty) = \lim_{s \rightarrow 0} \frac{sR(s)}{1 + G(s)H(s)} = \lim_{s \rightarrow 0} \frac{s \left(\frac{2}{s^2} + \frac{8}{s^3} \right)}{1 + K(Ts+1)/s^2(s+a)} = \frac{8a}{K}$$

2023/10/19

稳态误差计算

二、静态误差系数法

开环增益

$$G_k(s) = G(s)H(s) = \frac{K \prod_{i=1}^m (T_i s + 1)}{s^v \prod_{j=1}^n (T_j s + 1)}$$

开环系统极点的重根数

$$G_0(s) = \frac{\prod_{i=1}^m (T_i s + 1)}{\prod_{j=1}^n (T_j s + 1)}, G_k(s) = \frac{KG_0(s)}{s^v}$$

$v=0$, 称为 0 型系统;
 $v=1$, 称为 I 型系统;
 $v=2$, 称为 II 型系统

$$e_{ss}(\infty) = \lim_{s \rightarrow 0} \frac{s^{v+1} R(s)}{KG_0(s) + s^v} = \frac{\lim_{s \rightarrow 0} s^{v+1} R(s)}{K + \lim_{s \rightarrow 0} s^v}$$

2023/10/19



稳态误差计算 二、静态误差系数法

时域分析
Analysis in Time Domain

单位阶跃信号的稳态误差

$$r(t) = 1, R(s) = \frac{1}{s}$$

$$e_{ss}(\infty) = \lim_{s \rightarrow 0} \frac{sR(s)}{1 + G(s)H(s)} = \frac{1}{1 + \lim_{s \rightarrow 0} G(s)H(s)} = \frac{1}{1 + K_p}$$

稳态位置偏差

位置偏差系数

$$K_p = \lim_{s \rightarrow 0} s^v = \begin{cases} K, v = 0 & \text{对于阶跃输入信号, 须选用I型及以上类型的系统,} \\ \infty, v \geq 1 & \text{才能保证稳态误差为零。} \end{cases}$$

2023/10/19

11



稳态误差计算 二、静态误差系数法

时域分析
Analysis in Time Domain

单位斜坡信号的稳态误差

$$r(t) = t, R(s) = \frac{1}{s^2}$$

$$e_{ss}(\infty) = \lim_{s \rightarrow 0} \frac{sR(s)}{1 + G(s)H(s)} = \frac{1}{\lim_{s \rightarrow 0} sG(s)H(s)} = \frac{1}{K_v}$$

稳态速度偏差

速度偏差系数

$$K_v = \lim_{s \rightarrow 0} s \frac{KG_0(s)}{s^v} = \lim_{s \rightarrow 0} \frac{K}{s^{v-1}} = \begin{cases} 0, v = 0 & \text{对于斜坡输入信号, 必须选用II} \\ K, v = 1 & \text{型及以上类型的系统, 才能保证} \\ \infty, v \geq 2 & \text{稳态误差为零。} \end{cases}$$

2023/10/19

12



稳态误差计算 二、静态误差系数法

时域分析
Analysis in Time Domain

加加速度信号的稳态误差

$$r(t) = \frac{1}{2}t^2, R(s) = \frac{1}{s^3}$$

$$e_{ss}(\infty) = \lim_{s \rightarrow 0} \frac{sR(s)}{1 + G(s)H(s)} = \frac{1}{\lim_{s \rightarrow 0} s^2 G(s)H(s)} = \frac{1}{K_a}$$

稳态加速度偏差

加速度偏差系数

$$K_a = \lim_{s \rightarrow 0} s^2 \frac{KG_0(s)}{s^v} = \lim_{s \rightarrow 0} \frac{K}{s^{v-2}} = \begin{cases} 0, v = 0, 1 & \text{对于加加速度信号, 必须选用III型} \\ K, v = 2 & \text{及以上类型的系统, 才能保证稳} \\ \infty, v \geq 3 & \text{态误差为零。} \end{cases}$$

2023/10/19

13



稳态误差计算 二、静态误差系数法

$$e_{ss}(\infty) = \frac{\lim_{s \rightarrow 0} s^{v+1} R(s)}{K + \lim_{s \rightarrow 0} s^v}$$

系统 类别	静态误差系数			阶跃信号 $r = A \cdot 1(t)$	斜坡信号 $r = A \cdot t$	加速度信号 $r = A \cdot t^2 / 2$
V	$K_p = \lim_{s \rightarrow 0} \frac{K}{s^v}$	$K_v = \lim_{s \rightarrow 0} \frac{K}{s^{v-1}}$	$K_a = \lim_{s \rightarrow 0} \frac{K}{s^{v-2}}$	$e_{ss} = \frac{A}{1+K_p}$	$e_{ss} = \frac{A}{K_v}$	$e_{ss} = \frac{A}{K_a}$
0	K	0	0	$\frac{A}{1+K}$	∞	∞
I	∞	K	0	0	$\frac{A}{K}$	∞
II	∞	∞	K	0	0	$\frac{A}{K}$
III	∞	∞	∞	0	0	0

2023/10/19

14



稳态误差计算 二、静态误差系数法

时域分析
Analysis in Time Domain

例1: 已知系统前向通道传函为 $G(s) = \frac{K}{s^2(s+1)}$, 反馈通道传递函数为 $H(s) = Ts+1$

已知输入 $r(t) = 2t + 4t^2$, 求系统稳态误差。

V	$r = A \cdot 1(t)$	$r = At$	$r = At^2/2$
0	$\frac{A}{1+K}$	∞	∞
I	0	$\frac{A}{K}$	∞
II	0	0	$\frac{A}{K}$

$$G_k(s) = G(s)H(s) = \frac{K_1(Ts+1)}{s^2(s+a)} \Rightarrow \begin{cases} K = K_1/a \\ v = 2 \end{cases}$$

$$r_1(t) = 2t, e_{ss1} = 0$$

$$r_2(t) = 4t^2, e_{ss2} = \frac{A}{K} = \frac{8a}{K_1}$$

$$e_{ss} = e_{ss1} + e_{ss2} = \frac{8a}{K_1}$$

2023/10/19

15



稳态误差计算 二、静态误差系数法

时域分析
Analysis in Time Domain

例2: 系统结构图如图, 已知输入 $r(t) = At$, 求 $G_c(s)$, 使稳态误差为零。

解

$$G(s) = \frac{K}{s(Ts+1)} \quad \begin{cases} K = K \\ v = 1 \end{cases}$$

$$D(s) = Ts^2 + s + K = 0$$

$$\Phi_e(s) = \frac{E(s)}{R(s)} = \frac{1 - \frac{KG_c(s)}{s(Ts+1)}}{1 + \frac{K}{s(Ts+1)}} = \frac{s(Ts+1) - KG_c(s)}{s(Ts+1) + K}$$

$$e_{ss} = \lim_{s \rightarrow 0} s \Phi_e(s) = \frac{A}{s^2} \frac{s(Ts+1) - KG_c(s)}{s(Ts+1) + K} = 0 \Rightarrow G_c(s) = \frac{s}{K}$$

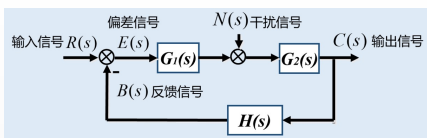
2023/10/19

16



稳态误差计算 三、有干扰存在时的误差

时域分析
Analysis in Time Domain



根据叠加原理, 系统输出等于系统输入与干扰输入叠加作用

$$C(s) = G_B(s)R(s) + G_N(s)N(s)$$

$$G_B(s) = \frac{G_1(s)G_2(s)}{1 + G_1(s)G_2(s)H(s)} \quad G_N(s) = \frac{G_2(s)}{1 + G_1(s)G_2(s)H(s)}$$

2023/10/19

17



稳态误差计算 三、有干扰存在时的误差

时域分析
Analysis in Time Domain

此时输出端系统误差为

$$\varepsilon(s) = \frac{R(s)}{H(s)} - C(s)$$

$$= \frac{R(s)}{H(s)} - G_B(s)R(s) - G_N(s)N(s)$$

输入信号产生的误差

$$= \frac{1}{(1 + G_1G_2H)H} R(s) - \frac{G_2}{1 + G_1G_2H} N(s)$$

$$= \Phi_R(s)R(s) + \Phi_N(s)N(s)$$

干扰信号产生的误差

$$= \varepsilon_R(s) + \varepsilon_N(s)$$

2023/10/19

18



稳态误差计算 三、有干扰存在时的误差

时域分析
Analysis in Time Domain

输入端系统误差 $E(s) = H(s)\varepsilon(s)$

$$= \frac{1}{1 + G_1G_2H} R(s) - \frac{G_2H}{1 + G_1G_2H} N(s)$$

$$= E_R(s) + E_N(s)$$

当系统输入信号为0, 系统输出完全由干扰产生, 此时有

$$C(s) = G_N(s)N(s) \quad \varepsilon(s) = -G_N(s)N(s)$$

→ 干扰产生的输出全部成为系统误差, 量值与系统输出相等, 但相位相反。干扰与输出之间的传递函数与干扰与误差之间的传递函数相反。

$$e_{Nss}(\infty) = \lim_{s \rightarrow 0} s E_N(s) = \lim_{s \rightarrow 0} \left(-\frac{G_2H}{1 + G_1G_2H} s N(s) \right)$$

2023/10/19

19



稳态误差计算

时域分析
Analysis in Time Domain

例3: 系统如图所示, 已知输入 $r(t) = At^2/2$, 求系统稳态误差。

解:

$$G(s) = \frac{K_1K_2K_3}{s_1s_2} \quad \begin{cases} K = K_1K_2K_3 \\ v = 2 \end{cases}$$

$$\Phi_e(s) = \frac{E(s)}{R(s)} = \frac{1}{1 + G(s)} = \frac{s_1s_2}{s_1s_2 + K_1K_2K_3(Ts+1)}$$

$$D(s) = s_1s_2 + K_1K_2K_3(Ts+1) \quad \begin{cases} K_1K_2K_3 > 0 \\ T > 0 \end{cases}$$

$$e_{ssr} = \lim_{s \rightarrow 0} s \Phi_e(s) \frac{A}{s^2} = \lim_{s \rightarrow 0} \frac{A}{s^2} \frac{s_1s_2}{s_1s_2 + K_1K_2K_3(Ts+1)} = \frac{A}{K_1K_2K_3}$$

$$\Phi_N(s) = \frac{-K_2K_3(Ts+1)/s_2}{1 + K_1K_2K_3(Ts+1)/s_1s_2} = \frac{-K_2K_3s_1(Ts+1)}{s_1s_2 + K_1K_2K_3(Ts+1)}$$

$$e_{ssn} = \lim_{s \rightarrow 0} s \Phi_N(s) \frac{A}{s^2} = \frac{A}{s} \frac{-K_2K_3s_1(Ts+1)}{s_1s_2 + K_1K_2K_3(Ts+1)} = -\frac{A}{K_1}$$

结论: 在主反馈口到干扰作用点之间的前向通道中提高增益, 设置积分环节, 可以同时减小或消除控制输入和干扰作用下产生的稳态误差。

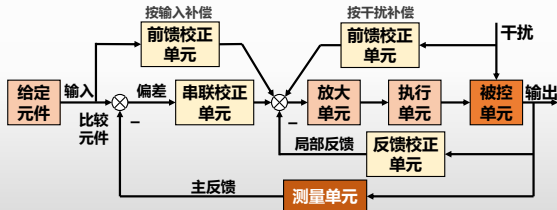
20



PLUS: 线性系统时域校正

时域分析
Analysis in Time Domain

校正: 采用适当方式, 在系统中加入一些结构和参数可调的校正装置, 用以改善系统性能, 使系统满足指标要求。



校正方式: 前馈校正、串联校正、反馈校正、复合校正

21



PLUS: 线性系统时域校正 反馈校正

时域分析
Analysis in Time Domain

例: 系统如图所示, 求:

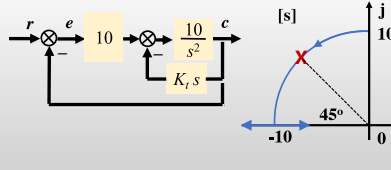
- 1) $K_f=0$ 时, 系统的性能?
- 2) K_f 增大时, $\sigma\%$ 和 t_{ss} 变化趋势?
- 3) K_f 增大时, $r(t)=t$, e_{ss} 变化趋势?

解: 1) $K_f=0, G(s)=\frac{100}{s^2}, \Phi_c(s)=\frac{100}{s^2+100}$

系统不稳定

2) $K_f > 0, G(s)=\frac{100}{s(s+10K_f)}, K=\frac{10}{K_f}, v=1$

$\Phi_c(s)=\frac{100}{s^2+10K_f s+100}, w_n=10, \zeta=\frac{K_f}{2}$



$K_f < 2, \zeta < 1$

$K_f \uparrow \Rightarrow \zeta \uparrow \Rightarrow \sigma\% \downarrow, t_{ss} \downarrow$

$K_f \geq 2, \zeta \geq 1, K_f \uparrow \Rightarrow \sigma\% = 0, t_{ss} \uparrow$

$\zeta = 0.707 \Rightarrow K_f = 1.414$

$\Rightarrow \sigma\% = 5\%, t_{ss} = \frac{3.5}{5K_f} = 0.495$

22



PLUS: 线性系统时域校正 反馈校正

时域分析
Analysis in Time Domain

例: 系统如图所示, 求:

- 1) $K_f=0$ 时, 系统的性能?
- 2) K_f 增大时, $\sigma\%$ 和 t_{ss} 变化趋势?
- 3) K_f 增大时, $r(t)=t$, e_{ss} 变化趋势?

解: 1) $K_f=0, G(s)=\frac{100}{s^2}, \Phi_c(s)=\frac{100}{s^2+100}$

系统不稳定

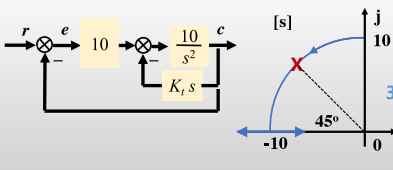
2) $0 < K_f < 2, \zeta < 1$

$K_f \uparrow \Rightarrow \zeta \uparrow \Rightarrow \sigma\% \downarrow, t_{ss} \downarrow$

$K_f \geq 2, \zeta \geq 1, K_f \uparrow \Rightarrow \sigma\% = 0, t_{ss} \uparrow$

$\zeta = 0.707 \Rightarrow K_f = 1.414$

$\Rightarrow \sigma\% = 5\%, t_{ss} = \frac{3.5}{5K_f} = 0.495$



3) $K_f > 0, G(s)=\frac{100}{s(s+10K_f)}, K=\frac{10}{K_f}, v=1$

$e_{ss} = \frac{1}{K} = \frac{K_f}{10}$

23



PLUS: 线性系统时域校正 前馈校正

时域分析
Analysis in Time Domain

例2: 系统如图所示。

- 1) 确定 K_1, K_2 , 配置极点于 $s=-5 \pm j5$;
- 2) 设计 $G_1(s)$, 使 $r(t)=t$ 作用下的 $e_{ss}=0$;
- 3) 设计 $G_2(s)$, 使 $n(t)$ 作用下 $e_n(t)=0$ 。

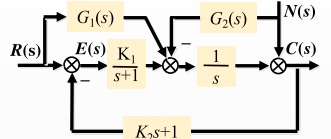
解: 1) $G(s)=\frac{K_1(K_2 s+1)}{s(s+1)}, K=K_1, v=1$

$D(s)=s^2+(K_1 K_2+1)s+K_1=0, K_1 > 0, K_2 > 0$

$=s^2+10s+50 \Rightarrow K_1=50, K_2=0.18$

2) $\Phi_c(s)=\frac{E(s)}{R(s)}=\frac{1-\frac{K_2 s+1}{s}G_1(s)}{1+\frac{K_1(K_2 s+1)}{s(s+1)}}=\frac{(s+1)[s-(K_2 s+1)G_1(s)]}{s(s+1)+K_1(K_2 s+1)}$

$e_{ss}=\lim_{s \rightarrow 0} \frac{1}{s^2} \Phi_c(s)=0 \Rightarrow G_1(s)=\frac{s}{K_2 s+1}$



PLUS: 线性系统时域校正 前馈校正

时域分析
Analysis in Time Domain

例2: 系统如图所示。

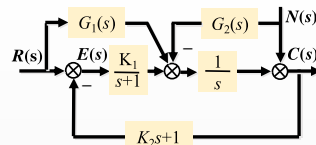
- 1) 确定 K_1, K_2 , 配置极点于 $s=-5 \pm j5$;
- 2) 设计 $G_1(s)$, 使 $r(t)=t$ 作用下的 $e_{ss}=0$;
- 3) 设计 $G_2(s)$, 使 $n(t)$ 作用下 $e_n(t)=0$ 。

解: 1) $G(s)=\frac{K_1(K_2 s+1)}{s(s+1)}, K=K_1, v=1$

2) $G_1(s)=\frac{s}{K_2 s+1}$

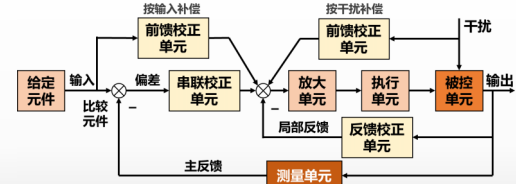
3) $\Phi_n(s)=\frac{E(s)}{N(s)}=\frac{-(K_2 s+1)+\frac{K_2 s+1}{s}G_2(s)}{1+\frac{K_1(K_2 s+1)}{s(s+1)}}=\frac{-(K_2 s+1)(s+1)[s-G_2(s)]}{s(s+1)+K_1(K_2 s+1)}$

$e_n=0 \Rightarrow G_2(s)=s$



线性系统时域校正

时域分析
Analysis in Time Domain



校正方法	实例	作用	说明
串联校正	比例+微分	提前控制, 减小超调	不损失稳态精度
反馈校正	测速反馈	增加阻尼, 减小超调	降低开环增益, 增加稳态误差
前馈校正	按输入/干扰补偿	主要提高稳态精度, 减小或消除稳态误差	对提高动态性能有利

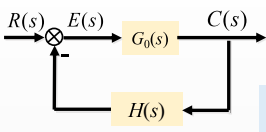
2023/10/19

26



课程小结

时域分析
Analysis in Time Domain



$G(s)=G_0(s)H(s)$

$\Phi(s)=\frac{G_0(s)}{1+G_0(s)H(s)}$

$D(s)=a_n s^n + a_{n-1} s^{n-1} + \dots + a_1 s + a_0 = 0$

稳
(基本要求)

(1) 稳定的概念 $\lim_{x \rightarrow \infty} x(t) \rightarrow 0$

(2) 稳定的充要条件 $\text{Re}[\lambda_i] < 0 \quad i=1,2,\dots$

(3) 稳定判据: 必要条件 $a_r > 0$

Routh判据

- Routh表
- 特殊情况处理
- Routh判据应用

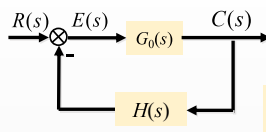
2023/10/19

27



课程小结

时域分析
Analysis in Time Domain



$G(s)=G_0(s)H(s)$

$\Phi(s)=\frac{G_0(s)}{1+G_0(s)H(s)}$

$D(s)=a_n s^n + a_{n-1} s^{n-1} + \dots + a_1 s + a_0 = 0$

准
(稳态要求)

(1) 误差的概念

误差定义: 从输入端定义;

从输出端定义

稳态误差: 静态误差 e_{ss} ;

(2) 误差计算

判定稳定性

一般方法: $\Phi_e(s)=\frac{E(s)}{R(s)}, \Phi_{em}(s)=\frac{E(s)}{N(s)}$

静态误差系数法

V	$r=A\lambda(t)$	$r=A\lambda$	$r=\frac{t^2}{2}$
0	$\frac{A}{1+K}$	∞	∞
I	0	$\frac{A}{K}$	∞
II	0	0	$\frac{A}{K}$

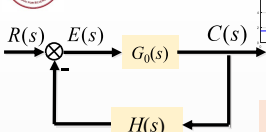
2023/10/19

28



课程小结

时域分析
Analysis in Time Domain



$G(s)=G_0(s)H(s)$

$\Phi(s)=\frac{G_0(s)}{1+G_0(s)H(s)}$

$D(s)=a_n s^n + a_{n-1} s^{n-1} + \dots + a_1 s + a_0 = 0$

快
(动态要求)

动态指标定义

$n=1 \quad \Phi(s)=\frac{K}{\tau s+1} \quad T_{ss}=3\tau$

$n=2 \quad \Phi(s)=\frac{w_n^2}{s^2+2\zeta w_n s+w_n^2}$

$0 < \zeta < 1, \lambda_{1,2} = -\zeta w_n \pm j w_n \sqrt{1-\zeta^2}$

$x(t) = 1 - \frac{e^{-\zeta w_n t}}{\sqrt{1-\zeta^2}} \sin(w_d t + \phi), w_d = w_n \sqrt{1-\zeta^2}, \phi = \arctan \frac{\sqrt{1-\zeta^2}}{\zeta}$

$t_p = \frac{\pi}{w_d}, \dot{x}(t) = 0 \quad \sigma\% = (x_p - 1) \times 100\% \quad t_w = \frac{4.4}{\zeta w_n}, \Delta = 2\%$

$= e^{-\frac{4.4}{\zeta}} \times 100\% \quad t_w = \frac{3.5}{\zeta w_n}, \Delta = 5\%$

• 最佳阻尼比

• 动态性能随极点位置的变化规律

$n=3$ 主导闭环极点 零点极点法

附加闭环零/极点对系统动态性能的影响

2023/10/19

29



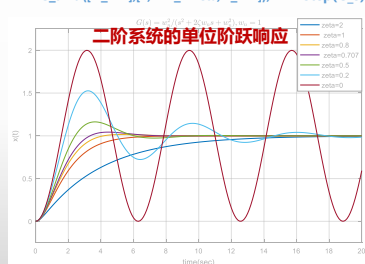
MATLAB仿真实验

免费网页版平替:
<https://octave-online.net/>

时域分析
Analysis in Time Domain

$G_s = \text{tf}([w_n^2], [1, 2*\zeta*w_n, w_n^2]);$

step(G_s) [要求]



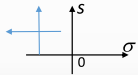
2023/10/19

30

1. 绘制4张欠阻尼二阶系统不同系数变化下的对比图, 观察四种变化造成的单位阶跃响应的变化
2. 绘制高阶系统对比图, 观察零极点变化下的单位阶跃响应的区别



[要求1]绘制4张欠阻尼二阶系统不同系数变化下的对比图，观察四种变化造成的单位阶跃响应的变化（自行配置合理区间内的自然频率和阻尼比）



对比图1

$$\zeta w_n \uparrow \Rightarrow \begin{cases} t_s = \frac{3.5}{\zeta w_n} \downarrow \\ \phi \downarrow \Rightarrow \zeta \uparrow \Rightarrow \sigma \% \downarrow \end{cases}$$

对比图2

$$\sqrt{1-\zeta^2} w_n \uparrow \Rightarrow \begin{cases} t_s = \frac{3.5}{\zeta w_n} \rightarrow \\ \phi \uparrow \Rightarrow \zeta \downarrow \Rightarrow \sigma \% \uparrow \end{cases}$$

2023/10

对比图3

$$\phi \uparrow \Rightarrow \begin{cases} \zeta w_n \downarrow \Rightarrow t_s = \frac{3.5}{\zeta w_n} \uparrow \\ \phi \uparrow \Rightarrow \zeta \downarrow \Rightarrow \sigma \% \uparrow \end{cases}$$

对比图4

$$w_n \uparrow \Rightarrow \begin{cases} \zeta w_n \uparrow \Rightarrow t_s = \frac{3.5}{\zeta w_n} \downarrow \\ \zeta \rightarrow \Rightarrow \phi \rightarrow \Rightarrow \sigma \% \rightarrow \end{cases}$$

31

[要求2]绘制高阶系统对比图，观察零极点变化下的单位阶跃响应的区别

系统描述	系统闭环传递函数	上升时间	峰值时间	超调量	调节时间 (2%)
无闭环零点	$\frac{1.05}{(0.125s+1)(0.5s+1)(s^2+s+1)}$	1.89	4.42	13.8%	8.51
远离虚轴的闭环零点	$\frac{1.05(0.4762s+1)}{(0.125s+1)(0.5s+1)(s^2+s+1)}$	1.68	3.75	15.9%	8.20
靠近虚轴的闭环零点	$\frac{1.05(s+1)}{(0.125s+1)(0.5s+1)(s^2+s+1)}$	1.26	3.20	25.3%	8.10
非主导闭环极点	$\frac{1.05(0.4762s+1)}{(0.25s+1)(0.5s+1)(s^2+s+1)}$	1.73	4.09	15.0%	8.36
非主导闭环极点	$\frac{1.05(0.4762s+1)}{(0.5s+1)(s^2+s+1)}$	1.66	3.64	16.0%	8.08
零极点抵消	$\frac{1.05}{s^2+s+1}$	1.64	3.64	16.3%	8.08